

**SUMMARY
CLINICAL CASE REVIEW**

Eliava M, Gigineishvili K, Katsitadze A.

SEBORRHEIC PEMPHIGUS – CASE REVIEW

TSMU, DEPARTMENT OF DERMATOLOGY AND VENEROLOGY

Seborrheic pemphigus is an overlap syndrome with features of lupus erythematosus and seborrheic dermatitis, consequently, its' differential diagnosis is complicated. Our aim is to present characteristic clinical features of seborrheic pemphigus. Rapid assessment and starting pulse therapy with systemic glucocorticoids is essential because seborrheic pemphigus tends to transform into pemphigus foliaceus and sometimes an outcome can be fatal for the patients. We present a clinical case of a 60-year-old patient. He complained about the rash, which appeared on his face, chest and upper back. Subjective complaints were pain and burning sensation in affected areas. Objective findings were: on erythematous base were notable flaccid bullae and eroded lesions covered with dark colored crusts. After the crust removal, wet surfaces appeared. Secondary hyperpigmentation was remarkable in areas, where erosions were already epithelialized. At the site of lesions, Nickolsky sign was positive. Complete blood cell count and urinalysis were within normal limits. The cytologic pattern was characterized by acantholysis.

კლინიკური შემთხვევის აღწერა

ვაშაყმაძე ნ.³, ბოკუჩავა მ.^{1,2}, ფურცხვანიძე თ.³,
ყურაშვილი გ.³, კუზმენკო ვ.³

**აორტის ფუქის, აღმავალი აორტისა და
ნახევარრაკალის განვითარებითი ჩანაცვლება
სარქველშემცველი ქსენოვარიკარდიული
გრაფტით მსუბუქ პიპორიერის დრო**

თსუ, სისხლარღვთა ეირუგიის დაართამანები¹,
გოხუას სახ. კარდიოვასკულარული ცალიკი²,
დასავლეთ საძართვალოს გულის ცალიკი³

აორტის ინფექციები, განსაკუთრებით პროთეზული ენდოკარდიტები მძიმე დაავადებაა, რომლის დროსაც სიკვდილიანობა 75%-ს აღნევს [1, 14]. პროთეზის ინფექციებიდან ეირუგიული ჩარევისას დაახლოებით 5%-ში გვხვდება, ენდოვასკულარული ჩარევებისას კი - დაახლოებით 1%-ში [2, 3]. პროთეზისმიერი ინფექციების მკურნალობა თანამედროვე კარდიოვასკულური ქირურგიის სერიოზული გამოწვევაა, რომლის სირთულე დაკავშირებულია არა-მარტო განმეორებით ოპერაციასთან (მასიურ შეხორ-

ცებები), არამედ პაციენტების კრიტიკულ ზოგად მდგომარეობასთან. პაციენტებს ხშირად აქვთ სეფ-სისი გართულებული ორგანოთა უკმარისობით.

აორტის ფუქის ჩანაცვლება პროთეზისმიერი ინფექციის დროს შესაძლებელია სხვადასხვა მეთოდის გამოყენებით:

1. ხელოვნური (სინთეზური მასალის) კონდუიტ-გრაფტი;
2. ჰომოგრაფტი;
3. ქსენოგრაფტი.

დისკუსია იმპლანტირებადი მასალის შერჩევასთან დაკავშირებით წლების მანძილზე გრძელდება, თუმცა რიგი კვლევები ადასტურებს ბიოლოგიური მასალის უპირატესობას [4-6]. ხარის პერიკარდისა და ბიოლოგიური სარქველისგან ფორმირებული კონდუიტ-გრაფტი წარმოადგენს ინვაციურ ალტერნატივას, ჩვენი აზრით, მთელი რიგი უპირატესობებით. კერძოდ, სინთეზური მასალის მინიმალური შემცველობით, შესაბამისად ინფექციისადმი მედეგობით, აორტის დიდი ზომის ერთიანი ჩანაცვლებით, ანასტომზებისა და ნაკერების სიმცირით, იგი მარტივად დამზადებადი და ხელმისაწვდომია.

პრეოპერაციული მონაცემები:

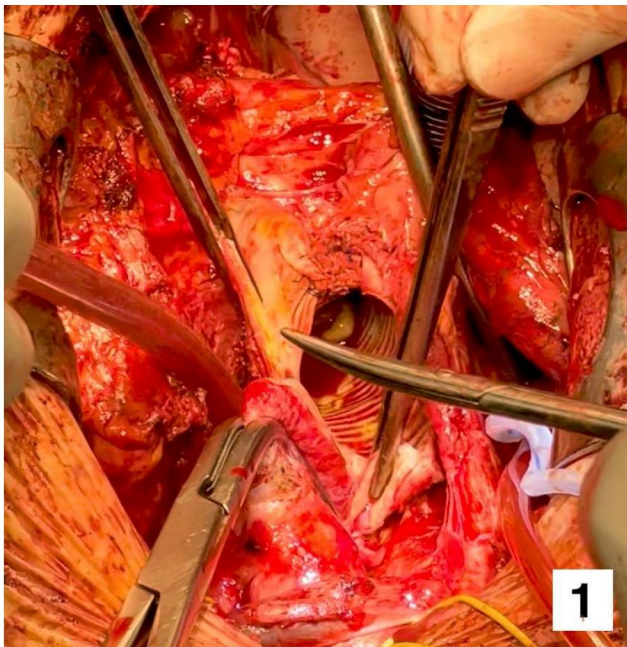
პაციენტის ასაკი - 69 წ., მამაკაცი. ანამნეზი: 5 წლის წინ Stanford A ტიპის აორტის განმრევებადი ანევრიზმა, რის გამოც ჩატარებული აქვს აორტის ფუქის, აღმავალი აორტისა და რკალის ნახევარის ჩანაცვლება ბიოლოგიური სარქველისა და ხაზოვანი პროთეზისგან ფორმირებული კონდუიტგრაფტით (SJM Epic™ 27mm, Jotec 32 mm). 2 თვის წინ დიდი განვითარებული იქნა COVID-19, სტაციონარული მკურნალობის აუცილებლობით სპეციალიზებულ კლინიკაში, გამოხატული ცულმონალური ინფილტრაციების ფონზე პაციენტი საჭიროებდა ინვაზიურ ვენტილაციას. სტაციონარული მკურნალობისას განუვითარდა იშემიური ინსულტი მარჯვენამხრივი ჰემიპარეზით. კლინიკიდან განერის შემდეგ პაციენტს აღნიშნებოდა რეკურენტული ფებრილური ცხელება, რის გამოც მომართა ჩვენს კლინიკას.

ექიკარდიოგრაფიული კვლევით, პროთეზირებული აორტის კედელთან სინოტუბულური შესართავის საპროექციოდ ისახებოდა მომატებული ექოგენობის ფლოტირებადი სტრუქტურები, ულტრაბგერითი სემიოტიკით შეესაბამებოდა ვეგეტაციებს. პაციენტის ჰოსპიტალიზაციისას, ცხელების ფონზე, აღებული იქნა სისხლი ბაქტერიოლოგიურ კვლევაზე და დაეწყო ანტიბიოტიკოთერაპია (მერონემი, გენტამიცინისა და ვანკომიცინი, კომბინაციით). აორტის სარქველზე არსებული მძიმე ნაკლოვანებისა და სარქველის კარედებზე არსებული მოძრავი ვეგეტაციების (ემბოლიზაციის მაღალი რისკით) გათვალისწინებით, გადაწყდა სასწრაფო ქირურგიული ჩარევა, სასიცოცხლო ჩვენებით.

ქირურგიული ტექნიკა:

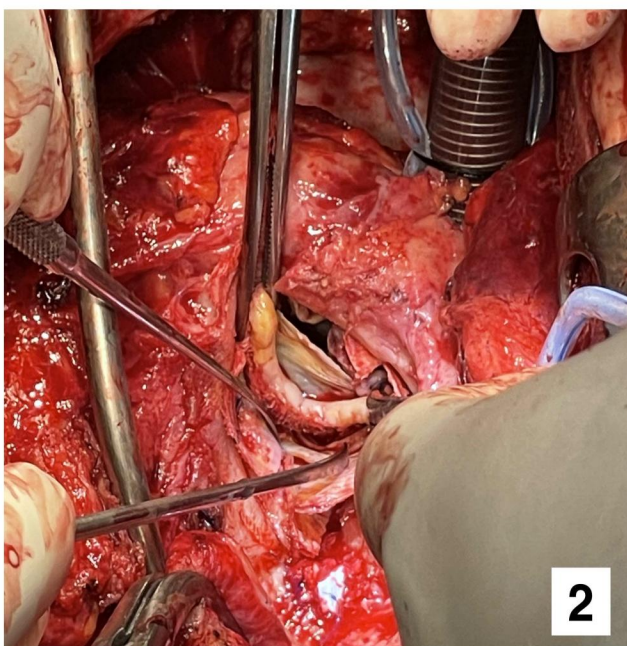
ოპერაციის მსვლელობისას მოხდა უცხო მასალის სრული ამოკვეთა სალი ქსოვილების ფარგლებში (სურათი №№ 1-4). ბიოლოგიური ქსენოპერიკადული კონდუიტგრაფტის ფორმირება მოხდა ხარის პერიკარდიუმისგან (SJM™ Pericardial Patch with Encap™ Technology), სტანდარტული ზომით 9x14სმ. აორტის რგოლი გაიზომა სტანდარტული სარქველის საზომით. ჰერიკარდიული კონდუიტგრაფტის დიამეტრი გან-

ისაზღვრა +5 მმ-ით. მილის ფორმირება მოხდა 4/0 პოლიპროპილენის ძაფის უნივერგული ორშრიანი ნაკერით მთელს სიგრძეზე. მილის დასაწყისში 4/0 პოლიპროპილენის ძაფით ჩაეკერა ბიოლოგიური სარქველი-SJM Epicstm 27mm (სურათი №5). საბოლოოდ ფორმირებული კონდუიტი ჩაინერგა აორტის რგოლში 2/0 ეთიბონდის კვანძოვანი ნაკერით პლეჯეტებზე ეპიანულარულად. კორონარული ოსტიუმები ჩაეკერა ბიოპროთეზში 5/0 პოლიპროპილენის გამოყენებით. კონდუიტის სიგრძე საკმარისი იყო დისტალური ანასტომოზის პირდაპირ გასაფორმებლად აორტის რკალთან 4/0 პროლენის უნივერგული ნაკერის გამოყენებით (სურათი №6).



1

სურ. №1.
ინფიცირებული ხაზოვანი პროთეზის ექსპლანტაცია



2

სურ.№2.
სარქველოვანი პროთეზის ექსპლანტაცია



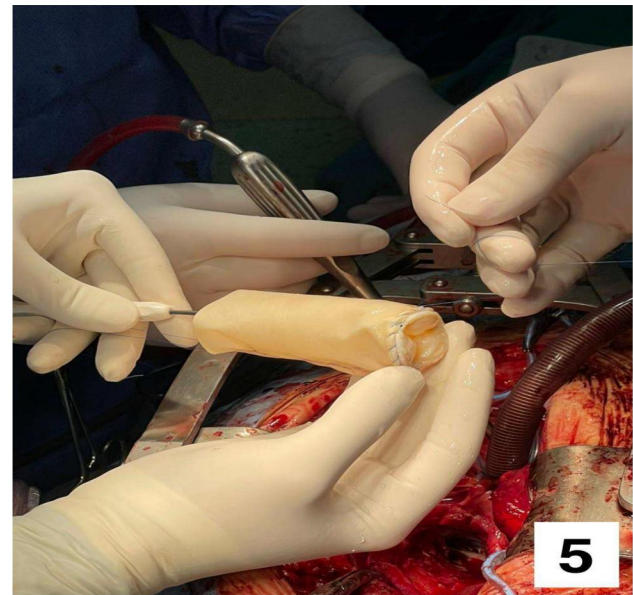
3

სურ.№3.
ექსპლანტირებული ბიოსარქველი ვეგეტაციებით



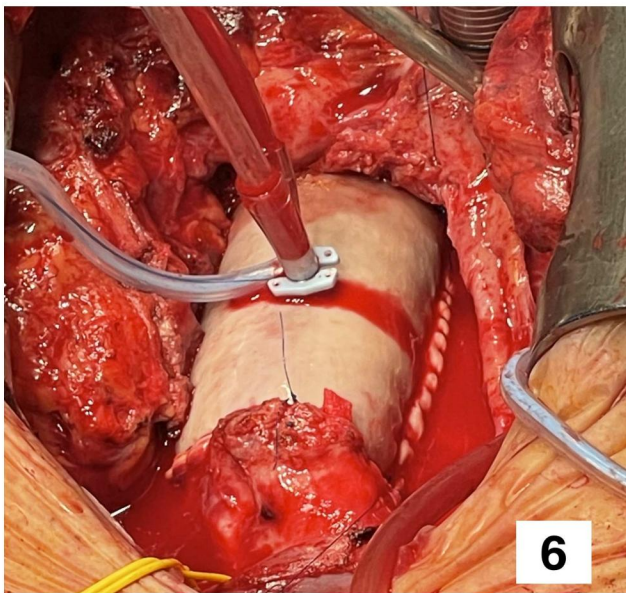
4

სურ.№4.
ექსპლანტიებული ბიოსარქველის უკანა ზედაპირი
და აღმავალი აორტის პროთეზი



5

სურ.№5.
სარქველშემცველი ქსენოპერიკადიული კონდუიტგრაფტის ფორმირება



სურ. №6.
იმპლანტირებული სარქველშემცველიქსენო-
პერიკადიული კონდუიტგრაფტი

ქირურგიული დეტალები:

პაციენტს ქირურგიული ჩარევა ჩაუტარდა სასწრაფო რეჟიმში, სასიცოცხლო ჩვენებით. არტერიული კანულაცია მარჯვენა ლავინქვეშა არტერიის გავლით. სისხლის ხელოვნური მიმოქცევის დრო - 235 წთ, აორტის გადაჭრის დრო - 176 წთ, დისტალური აორტის ანასტომოზის შესასრულებლად გამოყენებული იქნა მსუბუქი ჰიპოთერმია 32°C ცირკულაციული არესტი, თავის ტვინის უნილატელარული პერფუზის ფონზე - დრო 15 წთ და დაღმავალი აორტის პერიოდული პერფუზით, ბალონური კანულის გამოყენებით პირველი 6 წუთის განმავლობაში.

გამოსავალი:

პოსტოპერაციულად, შეფერხებული გაღვიძების ფონზე, პაციენტის საფეხურობრივი ვინინგი და სასუნთქი აპარატიდან მოხსნა შესაძლებელი გახდა მხოლოდ მე-5 დღეს. გამოხატული დელირიუმისა და ზოგადი სისუსტის ფონზე, პერიოდულად, პაციენტი საჭიროებდა არაინვაზიურ რესპირაციულ მხარდაჭერას. ახალი ნევროლოგიური დეფიციტი პოსტოპერაციულ პერიოდში არ დაიფიქსირებულა. პოსტოპერაციულად განვითარებული თირკმლის უკმარისობა და ემორჩილი მედიკამენტურ მეურნალობას და დიალიზის ჩატარების აუცილებლობა არ დამდგარა. პრეოპერაციულ სისხლის ბაქტერიოლოგიასა და ინტრაოპერაციულ მასალაში დაფიქსირდა ერთი და იგივე კულტურა Enterococcus Faecalis. ოპერაციის შემდგომი ანტიბიოტიკოთერაპია წარიმართა მეგნობელობის შესაბამისად. თერაპიის ხანგრძლივობა იყო 6 კვირა. პაციენტის მობილიზაცია და პალატაში გადასვლა შესაძლებელი გახდა მე-14 დღეს. დინამიკაში ექვერდიუგრაფიული კონტროლით აორტული კონდუიტი სტრუქტურული ცვლილებების გარეშე, გულის კუმშვადი ფუნქცია შენახული. რეკონვალესცენტრის პერიოდი წორმალურ განყოფილებაში წარიმართა გართულებების გარეშე და პაციენტი 24-ე დღეს დამაკმაყოფილებელ მდომარეობაში გაეწერა კლინიკიდან.

შემდგომი დაკვირვების 6 თვის განმავლობაში განმეორებითი ინფექციის ნიშები და სარქვლისა და აღმავალი აორტის ექოსკოპიური ცვლილებები არ გამოვლენილა.

აორტის ფუძის ჩანაცვლების/ბენტალის პროცედურის შემდგომ პროთეზის ინფექციური ენდოკარდიტის ქირურგიული მუკრნალობა თეორიულად შესაძლებელია სხვადასხვა პროთეზის იმპლანტაციით:

I. ხელოვნური კონდუიტგრაფტი: ა) მექანიკური სარქველი ხაზოვან პროთეზთან ერთად, პოლიესტერი, პოლიურეთანი, ანტიბიოტიკით ან ვერცხლით დაფარული [17].

ბ) ბიოლოგიური სარქველი, პლუს ხაზოვანი პროთეზი (Biovalsalvat™, Supra G) [15]. ხელოვნური კონდუიტგრაფტები გამოირჩევიან ხანგრძლივი მედეგობით, თუმცა საჭიროებები მუდმივ ანტიკოაგულაციურ თერაპიას, ხასიათდებიან ინფექციებისადმი შედარებით დაბალი რეზისტენტობით. სავარაუდოდ, რაც უფრო მაღალია ხელოვნური მასალის შემცველობა კონდუიტგრაფტში, მით უფრო იზრდება პროთეზის ინფიცირების რისკი [5,11].

II. ჰომოგრაფტი (გვამური გრაფტი, აუტოგრაფტი/როსის ოპერაცია) [10,12].

ჰომოგრაფტები იმუნოლოგიურად ყველაზე შეთავსებადი ბიომასალებია, თუმცა ძნელად ხელმისაწვდომია. როსის ოპერაცია (პულმონური არტერიის ფუძის აუტოგრაფრანსპლანტაცია) მასშტაბური ჩარევაა და მინივენელოვნად ზრდის გართულებების რისკს [10,12]. პრაქტიკულად, პროთეზის ენდოკარდიტისას სტანდარტულ მეთოდად ითვლება ქსენოგრაფტის ან ჰომოგრაფტის იმპლანტაცია, ამასთან, ჰომოგრაფტების გამოყენებისას აღნერილია პროთეზის სტრუქტურის აღრეული კალციფიკაციის შემთხვევები [11].

III. ქსენოგრაფტი (Free Style Medtronic, Edwards Prima Plus, Biointegral).

ჩვენს მიერ გამოყენებული ქსენოპერიკარდიული სარქველშემცველი კონდუიტგრაფტი არის შესანიშნავი საშუალება, რომელსაც აქვს ბევრი დადებითი მხარე [9,11], კერძოდ:

1. მარტივად შესაქმნელი კონსტრუქციაა, მის ფორმირებას მხოლოდ რამდენიმე წუთი სჭირდება და ამით გულის იშემისს დრო მნიშვნელოვნად არ იცვლება. კონდუიტი იკერება აორტის რგოლის ზომის შესაბამისად და მისი ხაზოვანი ნაწილის დიამეტრი ვარირების და აორტის რკალის დარჩენილ სეგმენტის დიამეტრთან სრულ შესაბამისობაში მოყვანის საშუალებას იძლევა;

2. ხელოვნური მასალის დაბალი შემცველობა. მართალია, ჩვენს კომპინაციაში აორტის სარქვლის პროთეზის აქვს ხელოვნური მასალა (სარქვლის საყრდენი აპარატი), მაგრამ თუ გავითვალისწინებთ ქირურგიული ჩარევის მასშტაბს (სარქვლის, ფუძის, აღმავალი ნაწილის და რკალის ნახევრის ჩანაცვლებას), ხელოვნურ მასალის შემცველობა ყველაზე ნაკლებია ბაზარზე არსებულ სხვა ალტერნატივებს შორის (ბიოლოგიური კონდუიტების სიგრძე საკმაოდ მოკლეა და ხშირად საჭიროებენ დამატებით ხაზოვანი პროთეზებით დაგრძელებას);

3. ნაკერების/ანასტომოზების სიმცირე, ანასტომოზების ჰერმენტულობა. შექმნილი სარქველშემცველი კონდუიტგრაფტი საკმარისი სიგრძისაა აორტის რგოლსა და აორტსრკალს შორის პირდაპირი ინტერკონირებისთვის. შესაბამისად, საჭიროებს ნაკლებ ანასტომოზებს და ნაკერებს. ამასთან, ქსენოპერიკარდიუმის ქსოვილის შემხები ზედაპირების კონტაქტი უფრო მჭიდრო და ჰერმეტულია, ნაკერის ხვრელებიდან და ხაზიდან სისხლდენები მნიშვნელოვნად ნაკლებია, რაც მრავლობითი ადჰეზიონიზით განპირობებული სისხლდენებისა თუ ჰემოლიზის, თირკმლის უკმარისობის, ასევე, ინტრაოპერატორულ ჰიპოთერმიით განპირობებულ კოაგულობათის შემთხვევაში განსაკუთრებულ მნიშვნელობას იძენს;

4. ბიოლოგიური მასალები გამძლეობით მნიშვნელოვნად ჩამოუვარდება ხელოვნურ გრაფტებს [7, 12]. თუმცა, ინფექციური პროცესებისადმი მედეგობა მნიშვნელოვნად აღემატება არსებულ მოცემულობას [5]. ბოლო წლებში გამოქვეყნებულ კვლევებში ქსენოპერიკარდიუმისგან შექმნილ კონდუიტებში დაფიქსირდა კალციფიკაციისა და სტრუქტურული დეგრადაციის, ასევე, პროთეზის ინფექციის დაბალი მაჩვენებელი [11]. დინამიკაში აღმავალი აორტის დიამეტრი რჩებოდა სტაბილური, შემდგომი დილატაციის გარეშე. ისი კომპლაქსის ძალიან ახლოს დგას ნატიური აორტის მახასიათებლებთან [16];

5. ხელმისაწვდომობა და ხარჯთეფექტურობა. ხარის ჰერიკარდი სტანდარტულ ზომებშია ხელმისაწვდომი, მრავალმხრივ გამოყენებადია და არ საჭიროებს, ხაზოვანი პროთეზების მსგავსად, სხვადასხვა ზომებში დასაწყობებას. ამასთან, ხარჯთეფექტურია. დღეს არსებული ლოჯისტიკური გამოწვევების ფონზე (საოპერაციო მასალების მოწოდებასთან არსებული საყოველთაო სირთულეები), კიდევ ერთხელ ხაზს უსვამს აღნიშნული მეთოდის ხელმისაწვდომობას. ის საუკეთესო საშუალება ხდება, არამარტო განვითარებად ქვეყნებში, პროთეზისმიერ ენდოკარდიტების დროულ ქირურგიულ მკურნალობაში;

6. ნეგატიურ მხარეს წარმოადგენს ხაზოვანი ნაწილის სიგრძის სწორი გათვლა. პროთეზის შეკერვის შემდეგ მისი დამოკლება რთულია, გვერდითი უწყვეტი ნაკერის გახსნის გამო.

დასკვნა: ხარის ჰერიკარდიუმისგანდა ბიოლოგიური სარქველისგან ფორმირებული კონდუიტგრაფტი არის, საოპერაციო დარბაზში მარტივად და მოკლე დროში, პაციენტის აორტის ზომებთან შესაბამისობაში დამზადებადი კოსტრუქცია, რომელიც, ერთეული კლინიკური გამოცდილების საფუძველზე, შეიძლება ალტერნატიული ეფექტური მკურნალობის მეთოდად იქნას განხილული პროთეზისმიერი ენდოკარდიტების დროულ მკურნალობაში. ის საჭიროებს, როგორც გრძელვადიანი შედეგების შესწავლას, ისე მულტიცენტრული გამოცდილების ანალიზს.

ლიტერატურა:

- Fujii T, Watanabe Y. Multidisciplinary treatment approach for prosthetic vascular graft infection in the thoracic aortic area. *Ann Thorac Cardiovasc Surg* 2015;21:418–27.
- Vogel TR, Symons R, Flum DR. The incidence and factors associated with graft infection after aortic aneurysm repair. *J Vasc Surg* 2008;47:264.
- Cernohorsky P, Reijnen MM, Tielliu IF, van Sterkenburg SM, van den Dungen JJ, Zeebregts CJ. The relevance of aortic endograft prosthetic infection. *J Vasc Surg* 2011;54:327–33.
- Odero A, Argenteri A, Cugnasca M, Pirrelli S. The crimped bovine pericardium bioprosthesis in graft infection: preliminary experience. *Eur J Vasc Endovasc Surg* 1997;14:99e101.
- McMillan WD, Levile CD, Hile CN. Bovine pericardial patch repair in infected fields. *J Vasc Surg* 2012;55:1712e5.
- Czerny M, von Allmen R, Opfermann P, Sodeck G, Dick F, Stellmes A, et al. Self-made pericardial tube graft: a new surgical concept for treatment of graft infections after thoracic and abdominal aortic procedures. *Ann Thorac Surg* 2011;92: 1657e62.
- Nappi F, Nenna A, Petitti T, Spadaccio C, Gambardella I, Lusini M et al. Long-term outcome of cryopreserved allograft for aortic valve replacement. *J Thorac Cardiovasc Surg* 2018;156:1357–65.e6.
- Umminger J, Krueger H, Beckmann E, Kaufeld T, Fleissner F, Haverich A et al. Management of early graft infections in the ascending aorta and aortic arch: a comparison between graft replacement and graft preservation techniques. *Eur J Cardiothorac Surg* 2016;50:660–7.
- Kondov S, Beyersdorf F, Rylski B, Kreibich M, Dimov A, Berger T et al. Redo aortic root repair in patients with infective prosthetic endocarditis using xenopericardial solutions. *Interact CardioVasc Thorac Surg* 2019;29:339–43.
- Kowert A, Vogt F, Beiras-Fernandez A, Reichart B, Kilian E. Outcome afterhomograft redo operation in aortic position. *Eur J Cardiothorac Surg* 2012;41:404–8.
- Weiss S, Tobler EL, von Tengg-Kobligk H, Makaloski V, Becker D, Carrel TP et al. Self made xeno-pericardial aortic tubes to treatnative and aortic graft infections. *Eur J Vasc Endovasc Surg* 2017;54:646–52.
- Reineke DC, Kaya A, Heinisch PP, Oezdemir B, Winkler B, Huber C et al. Long-term follow-up after implantation of the ShelhighVR No-ReactVR complete biological aortic valved conduit. *Eur J Cardiothorac Surg* 2016; 50:98–104.
- Habib G, Lancellotti P, Antunes MJ, Bongiorni MG, Casalta JP, Del Zotti F et al. 2015 ESC guidelines for the management of infective endocarditis: the task force for the management of infective endocarditis of the European Society of Cardiology (ESC). Endorsed by: European Association for Cardio-Thoracic Surgery (EACTS), the European Association of Nuclear Medicine (EANM). *Eur Heart J* 2015;36:3075–128.
- Heubner L, Schneider U, Giebels C, Karliova I, Raddatz A, Schafers HJ. Early and long-term outcomes for patients undergoing reoperative aort- tic root replacement. *Eur J Cardiothorac Surg* 2019;55:232–7.
- Wendt D, Raweh A, Knipp S, El Gabry M, Eißmann M, Dohle DS et al. Comparison of mid-term haemodynamic performance betweenthe BioValsalva and the BioIntegral valved conduits after aortic root replace- ment. *Interact CardioVasc Thorac Surg* 2016;23:112–17.
- Xin Li, Yuanyuan Guo, Kenneth R. Ziegler, Lynn S. Model, Sammy D.D. Eghbalieh, Robert A. Brenes, Susun T. Kim, Chang Shu, Alan Dardik, Current Usage and Future Di-

rections for the Bovine Pericardial Patch, Annals of Vascular Surgery, Volume 25, Issue 4, 2011, Pages 561-568,

17. A. Pupka, J. Skora, D. Janczak, T. Plonek, J. Marczak, T. Szyde³ko, In Situ Revascularisation with Silver-coated Polyester Prostheses and Arterial Homografts in Patients with Aortic Graft Infection – A Prospective, Comparative, Single-centre Study, European Journal of Vascular and Endovascular Surgery, Volume 41, Issue 1, 2011, Pages 61-67, ISSN 1078-5884.

18. Kreibich M, Siepe M, Morlock J, Beyersdorf F, Kon-dov S, Scheumann J et al. Surgical treatment of native and prosthetic aortic infection with xenopericardial tube-grafts. Ann Thorac Surg 2018;106: 498–504.

19. Guenther SP, Reichelt A, Peters S, Luehr M, Bagaev E, Hagl C et al. Root replacement for graft infection using an all-biologic xenopericardial conduit. J Heart Valve Dis 2016;25:440–7.

SUMMARY CLINICAL CASE REVIEW

Vashakmadze N.³, Bokuchava M.^{1,2}, Purtskhvanidze T.³, Kurashvili G.³, Kuzmenko V.³

REDO AORTIC ROOT-, ASCENDING AORTA- AND HEMIARCH REPLACEMENT WITH SELF-MADE VALVED XENO-PERICARDIAL GRAFT IN MILD HYPOTHERMIA FOR TREATMENT OF GRAFT INFECTION

TSMU, DEPARTMENT OF VASCULAR SURGERY¹, BOKHUA CADIOVASCULAR CENTRE², WEST GEORGIA HEART CENTRE³,

Objective: We are presenting a conceptually new approach involving the use of a self-made xeno-pericardial graft in combination with biological aortic valve prosthesis in patients with prosthetic endocarditis.

Method: In case of proven prosthetic infective endocarditis after aortic root replacement our strategy includes complete explantation of the infected vascular prosthesis and valve, forming a new vascular tube from bovine pericardium corresponding to the dimensions of the aortic annulus and ascending aorta and sewing a new biological valve into it.

The procedure was performed under short circulatory arrest with unilateral brain perfusion in mild hypothermia.

Results: During surgery the aortic root, ascending aorta and hemiarch were replaced using a xenopericardial valved graft. The length of the stay in ICU and general ward was 24 days. No early and late neurological deficits were found. Follow Up time was 6 months. The course of antibiotic therapy was completed in 6 weeks. At the follow up no signs of repeated infection as well as structural changes of the valve were found.

Conclusions: Implantation of self-made xenopericardial valved graft is an innovative strategy and represents a safe alternative for prosthetic infective endocarditis. The short-term results of this approach are excellent, although further studies are needed to confirm positive medium and long-term results in large cohorts. Self-made valved xenopericardial grafts are readily available, off the-shelf, easy to assemble and durable alternative for the replacement of all aortic segments from the root till arch.

ვეფხვაძე ნ.¹, ხორბალაძე მ.², კუგოტი ი.², ცხოვრებაძე ნ.¹, ქოჩორაძე-მარლიშვილი თ.²

ათელოსული ჰარის ხარისხის შეზარდა საქართველოს დიდ ეკლაკეპში (2019-2021წ.6.)

თსს, პიგიენისა და სამადიცინო ეკოლოგიის დაარტაგენტი, ჯანმრთელობის ხელშეყობის დაარტაგენტი²

ატმოსფერული ჰაერის დაბინძურება, რაც, სამნუხაროდ, სულ უფრო სერიოზულ მასშტაბებს იქნის მთელს მსოფლიოში, უარყოფითად აისახება ეკო-სისტემაზე, ადამიანის ჯანმრთელობაზე და მნიშვნელოვან პრობლემას უქმნის მთლიანად ცივილიზებულ სამყაროს. სწორედ ამის გამო, გლობალური დათბობით და კლიმატის ცვლილებით გამოწვეული პრობლემების გადაწყვეტა მოითხოვს ყველა ქვეყნის გადაწყვეტილების მიმღები მხარეების ერთობლივ ძალისხმევას და ოპტიმალური გზების ძიებას მდგომარეობის გაუმჯობესების მიზნით (2; 3; 5).

გლობალურ დათბობას შეუძლია შეცვალოს ჩვენი პლანეტა, რაც უზარმაზარ სოციალურ, პოლიტიკურ და ეკონომიკურ პრობლემებს ქმნის. აღნიშნული განაპირობებს ადეკვატური ღონიძიებების დროულად გატარების აუცილებლობას ტემპერატურის მზარდი მატების შესაჩერებლად.

გლობალური დათბობის მიზნით ხშირად ხდება ე.წ. სათბურის ეფექტი. მოცემული ტერმინი გამოიყენება ატმოსფერული აირების დაგროვების თავისებურებების ასახსნელად. ატმოსფეროში არსებული ნახშირორჟანვი, წყლის ორთქლი, ოზონი და სხვა აირები მოქმედებს სათბურის მინების მსგავსად და ხელს უწყობს დედამინის ახლომდებარე ტროპოსფეროში სითბოს დაგროვებას. ატმოსფეროს დაბინძურების წყაროს მძიმე თუ მსუბუქი მრეწველობის სანარმოები და შიდანვის ძრავები — ავტომანქანები, თვითმფრინავები და სხვა სახის ორგანულ სანვავზე მომუშავე ტრანსპორტი წარმოადგენს, რომელთა მოძრაობის პროცესში ხდება დიდი რაოდენობით CO₂-ს (ნახშირორჟანვის) და სხვადასხვა მავნე აირების გამოყოფა, რომელიც ხელს უწყობს გარემოს შედარებით მაღალი ტემპერატურის შენარჩუნებას (4; 11).

დაბალი და საშუალო შემოსავლის მქონე ქვეყნები, იქ, სადაც მჭიდრო დასახლებაა და მოსახლეობის რაოდენობა ქალაქებში 100000-ს აჭარბებს, 97%-შივერ აკმაყოფილებს ჯანმრთელობის მსოფლიო ორგანიზაციის მინიმალურ სტანდარტებს ჰაერის ხარისხთან დაკავშირებით. მაღალგანვითარებულ, ქვეყნებში კი ასეთი ქალაქების ნილი მხოლოდ 29%-ს შეადგენს (7).

ლიტერატურული წყაროები (12) ადასტურებენ, რომ დედამინაზე ყოველი 10 ადამიანიდან 9 დაბინძურებულ ჰაერს სუნთქვას. ჯანმრთელობის მსოფლიო ორგანიზაციის მონაცემებით, გარემოს დაბინძურება გლობალური საფრთხეა და ყოველწლიურად 7 მილიონამდე ადამიანის დაღუპვების იწვევს. სიკვდილის გამომწვევ მიზეზებს შორის დაბინძურებული ჰაერი მეოთხე ადგილს იკავებს. ეს ციფრი ბევრად აღმატება პანდემიის პერიოდში COVID-19-ით გამოწვეულ სიკვდილიანობას. ჰაერის დაბინძურება სერიოზულ ფინანსურ და ეკონომიკურ პრობლემებსაც ქმნის. ამას მოწმობს მსოფლიო ბანკის მონაცემე-